

日本大学生産工学部 正会員 遠藤茂勝  
 " " " 潘合実  
 " " " 三浦晃

## 1). はじめに。

近年、利用水域の拡大に伴って、水深の深い重複波水深領域にまで防波堤が計画されるようになってきた。ため、構造物とそこでの規模が大型化し、天端高の低減が重要な課題となってきた。そこで、經濟的かつ合理的な構造物の設計を行うために天端高と越波量の関係を把握する必要が生じてきた。そこで本文では重複波水深領域にあける直立防波堤の越波を対象とし、越波時の波浪高について検討するとともに、それらの結果をもとに導かれた部分重複波の空間波形と越波量の関連について検討したものである。

## 2). 実験装置および実験方法

実験は、長さ $\times$ 幅 $\times$ 高さ $60m \times 0.70m \times 10m$ の三次元水槽で行った。実験の防波堤模型は、厚さ $0.60cm$ の鋼板で高さを $1.0cm$ ごとに変えられるもので、透波板から $0.1m$ 地盤に設置した。水位の測定は容量式波高計出器とデジタル赤外線装置をもつた。そして本文の入射波高 $H_i$ は模型装置地盤である $0.60cm$ の測定によって堤頂の波高である。実験の条件は水深 $h=40.0cm$ として入射波周期 $T=20\sim22s$ まで $6$ 種類の入射波高 $H_i=6.5\sim15.0cm$ 入射波形(占率 $H_i/L=0.016\sim0.076$ )の範囲で行った。

## 3). 実験結果および考察

ここでは、波浪高について考察するが、静水面上の波浪高 $\eta$ を次式のように仮定する。

$$\eta = \alpha H_i + \alpha^2 \eta_0 \quad (1)$$

ここで $\alpha$ は係数で $\alpha^2 \eta_0$ は軌道中心上昇高を示す。いま $\alpha=1.0$ のときの波浪高を $\eta_m$ とすれば

$$\eta_m = H_i + \eta_0 \quad (2)$$

となり、完全重複波の波浪高を示す $\eta_0$ は次式で示される。

$$\eta_0 = \frac{\pi H_i^2}{L} \coth \frac{kh}{L} \quad (3)$$

ここで $H_i$ : 入射波高、 $L$ : 波長、 $k=2\pi/L$

また $\alpha=1/2$ のときの波浪高を $\eta_p$ とすれば

$$\eta_p = \frac{1}{2} H_i + \frac{1}{4} \eta_0 \quad (4)$$

となり、防波堤がない時の進行波の波浪高の式となる。

従って部分重複波の波浪高を $\eta_c$ とすれば次式で示される。

$$\eta_c = \alpha H_i + \alpha^2 \eta_0 \quad (5)$$

ただし、 $\alpha=1/2 \sim 1.0$

また一方、部分重複波の波浪高と完全重複波の波浪高に関する実験結果は次式で示される<sup>1), 2)</sup>

$$\eta_c = 0.65 \eta_m + 0.35 H_i \quad (6)$$

ここで $H_i$ は防波堤の静水面上の天端高を示す。従って(2)式を(6)式に代入すると、

$$\eta_c = (0.65 + 0.35 \frac{H_i}{H_i}) H_i + 0.65 \eta_0 \quad (7)$$

これは部分重複波の波浪高であるがうらぎの関係から

$$\alpha = 0.65 + 0.35 \frac{H_i}{H_i} \quad (8)$$

または(5)式の $\alpha=1$ は(8)式より

$$\alpha^2 \eta_0 = (0.65 + 0.35 \frac{H_i}{H_i})^2 \frac{\pi k^2}{L} \coth kh \quad (9)$$

と表わすことができる。従って部分重複波の波浪高を表わす(5)式は次のよう示される。

$$\eta_c = (0.65 + 0.35 \frac{H_i}{H_i}) H_i + (0.65 + 0.35 \frac{H_i}{H_i}) \frac{\pi k^2}{L} \coth kh \quad (10)$$

この結果より部分重複波の空間波形を考へ、(1)は座標軸を静水面上の天端高 $H_i$ より上の部分の波形で囲まれる容積となる。それらは次式で求められる。

$$Q_{cal} = 2 \int_0^{x_c} (\eta_u - H_i) dx + (0.65 + 0.35 \frac{H_i}{H_i})^2 \frac{\pi k^2}{L} \coth kh \quad (11)$$

ここで、(1)は部分重複波の越波量を考へると、越波量は静水面上の天端高 $H_i$ より上の部分の波形で囲まれる容積となる。それらは次式で求められる。

$$Q_{cal} = 2 \left\{ \frac{1}{2\pi} (0.65 + 0.35 \frac{H_i}{H_i}) H_i \sin kx_c + (0.65 + 0.35 \frac{H_i}{H_i})^2 \frac{\pi k^2}{L} x_c \coth kh - H_i x_c \right\} \quad (12)$$

ここで $Q_{cal}$ は波形がうらぎのうれる越波容積であるが、実際の越波量はこの量よりもなく空間波形の容積 $Q_{cal}$ と部分重複波の一周期当たりの越波量 $Q_D$ とは次式で関連づけられる。

すみやかに

$$Q_D = C \times Q_{cal} \quad \dots \dots \dots \quad (13)$$

ここで  $C$  は、部分重複波 - 壁面当たりの波浪量係数で、収容には直立防波堤の天端高、入射波の波形勾配、おものが水深などに支配されるので、それらの関連について系統的な評議がなされれば、天端高  $H_c$  を取入れた波浪量  $Q_C$  を求めることができる。そこで、波浪量係数について、実験データとの関連について調べたのが図-2である。これらの結果は多岐にわたりますが、天端高の増大に対してもほぼ一定値となる傾向を示し、上限の値で  $C=0.3$  程度までなることがわかる。従って、直立防波堤の静水面上の天端高  $H_c$  を取入れた部分重複波の波浪量  $Q_C$  は次式で算定される。

$$Q_C = 2 \cdot C \left\{ \frac{L}{2\pi} \left( 0.65 + 0.35 \frac{H_c}{H_i} \right) H_i \sin k_c x_c + \left( 0.65 + 0.35 \frac{H_c}{H_i} \right)^2 \frac{\pi H_i^2}{L} x_c \coth k_c h \right. \\ \left. - H_c x_c \right\} \quad \dots \dots \dots \quad (14)$$

この式による計算結果の一例を示したもののが、図-3である。この計算結果は入射波の波形勾配が  $H_i/L = 0.030$  の場合で、波浪量係数  $C = 0.3$  として計算した結果で、相対水深  $h/L$  をパラメータとして示した。直立防波堤の天端高  $H_c/H_i$  の増大に対する無次元波浪量  $2\pi Q/C_h L$  の傾向はほぼ一様であるが、相対水深  $h/L$  が大きいほど、波浪量は減少する。

以上のように、重複波水深領域に設置された直立防波堤を対象として、部分重複波の波浪量について検討したが、これまで、防波堤の天端高と関連して運動する波頂高や動的中心上昇高などについて明確に示されることはなく、Kために十分考慮されなかつたように思われるが、本文では波頂高に関する実験結果と部分重複波の空洞波形の式に導き波ひずみ波のうちあげの高さを加味することによつて波浪量を一層厳密に求めようとした。その結果、波浪量係数もほぼ定数となり式(14)式に示す算定式をえた。

### 参考文献

- 1) 遠藤、洛合、三浦：波浪のある場合の重複波の波頂高について、第28回、海岸工学講義会論文集、pp.320～324、1981。

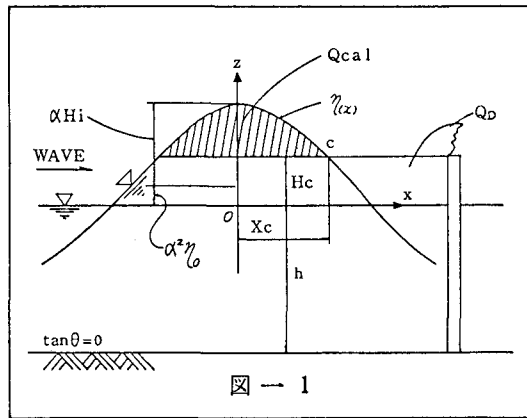


図-1

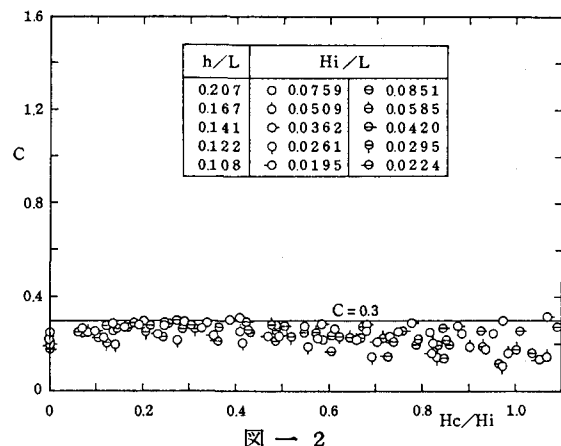


図-2

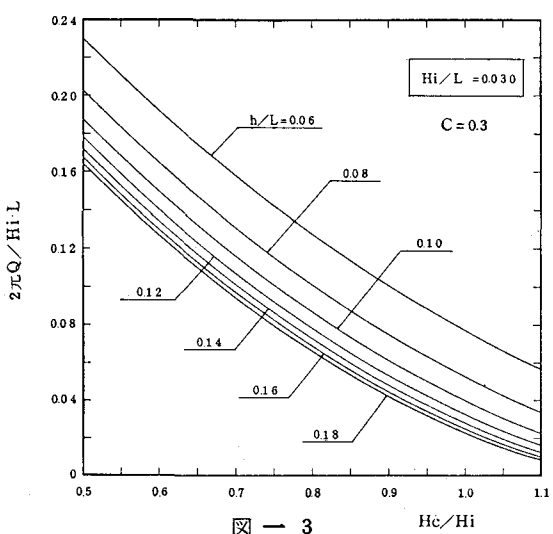


図-3

- 2) Shigekatsu E and A. Miura : Experimental Study on sea wave movement facing a vertical wall. Rep. of the Research Inst. of Indust. Tech., N.U Vol.4.